

V-222 気泡コンクリートの気泡球分布構造 (半径、中心間隔分布状態と空気量の推定について)

岐阜大学 正森本博昭

1. 研究目的

最近、多相系複合材料の諸物理性、特に構造敏感な強度特性における系構成相の組織構造が果す役割について認識が深まりつつある。本研究は多孔材料を二相分散系複合材料とみなし、その構成相の組織構造として気泡球の半径および中心間隔の分布特性を着目し、これらの三次元的な分布特性を解明するための確率統計的手法およびこれら直列要素と量的要素である空気量との関連性について検討を行なったものである。さらに多孔材料の一例として泡泥コンクリートを取り上げ、本手法の適用例を示した。そして今後、気泡コンクリートなど特殊材料の諸物理性と空気量さらには気泡球分布構造との関連性を知る上で有力な手がかりを得ることを目的としている。

2. 手法の概要) 本研究においては断面からわかれ氣泡を気泡孔、一方気泡を立体的に取り扱う時にはこれを気泡球と呼ぶ。確率統計的手法により気泡球半径分布 $f(r)$ と気泡孔半径分布 $f(s)$ の間に次式が成立する。

$$F(s \leq a) = 1 - \frac{1}{\pi} \int_a^{\infty} \sqrt{r^2 - a^2} f(r) dr \quad (1) \quad f(r), f(s) : r, s の 確率密度曲線$$

$$f(s) = \left[\partial F(s \leq a) / \partial a \right]_{a=s} \quad (2) \quad \bar{r} : 平均気泡球半径$$

式(1)(2)から $f(r)$ を決定するには次のような手順によるのが簡便である。まず最初、気泡球半径分布 $f(r)$ に適切な型を与える式により気泡孔半径分布 $f(s)$ を解析的に算出する。一方、多孔材料切断面の観測から気泡孔半径分布のヒストグラムを求め、これと解析的に算出した $f(s)$ とを対比して試行錯誤的に $f(r)$ を決定する。なお、実際の作業にあたっては、石らが求めた $f(r)$ に二三の適切な型を与えた式中のパラメータ K について $f(s)$ に與する一連の定規図を作成しておくべきである。以上のようないくつかの推定作業の流れ図を示せば fig-1 のようになる。さて確率論的考察により気泡球半径分布 $f(r)$ と気泡孔半径分布 $f(s)$ との間に $f(s)$ と $f(r)$ の基礎式(1)(2)と全く同型の関係式が成立する。従って気泡孔半径分布 $f(s)$ から $f(r)$ を推定するには半径分布の場合と全く同様の手順にすればよい。気泡球の表面積、体積の分布 $f(A)$ 、 $f(V)$ は $A = 4\pi r^2$ 、 $V = \frac{4}{3}\pi r^3$ の変数換換を行なうことにより容易に算出できる。すなはち $f(A) = f(r) | dr/dA |$ — (3) $f(V) = f(r) | dr/dV |$ — (4)

$f(r)$ 、 $f(s)$ 、 $f(A)$ が決定すればそれより平均、分散などを直ちに算出できる。

3. 気泡球分布型の導入) 本手法によれば、まず気泡球半径および間隔分布 $f(r)$ 、 $f(s)$ に適切な型に想定しておく必要があるが、種々の型について検討を行なった結果 $f(r)$ 、 $f(s)$ とも指數減少型あるいは直線減少型を想定するのが適切であると考えられた。今、半径分布を例にとってそれを想定した場合について $f(s)$ の算定を行なう。

① 直線減少型分布の場合) $f(r) = \frac{2}{K^2}(K-r)$ (K : パラメーター, $0 < r < K$, $\bar{r} = \frac{K}{3}$) — (5)

とした場合、式(5)を基礎式に代入して $f(s)$ の解析解として次式を得る。

$$f(s) = \frac{6}{K^2} \cdot (s \log K + \sqrt{K^2 - s^2} / s - s \sqrt{K^2 - s^2} / K) \quad (6)$$

2) 指數減少型分布の場合) $f(r) = \lambda e^{-\lambda r}$ ($\lambda: 10^6 \text{ラ} - \text{r}, \bar{r} = 1/\lambda$) — (7)

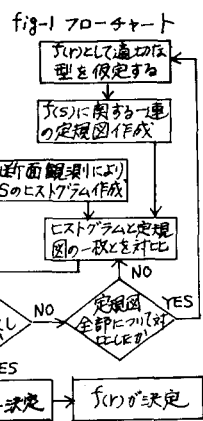
式(7)を基礎式に代入して次式を得る。 $f(s) = [\lambda^2 e^{-\lambda a} \{ \lambda \ln(g(r)) - \ln(\frac{\partial g(r)}{\partial a}) \}]_{a=s}$ [ここで $r-a=r'$, $g(r)=\sqrt{r^2+2ar'}$] $L: \lambda^2 \text{ラス変換子}$

上式に適切な近似計算を施すことにより最終的につき次式を得る。

$$f(s) = [\lambda^2 e^{-\lambda a} \{ C_1 \cdot \Gamma(C_2+1) / C_2 - C_1' \cdot \Gamma(C_2'+1) / C_2' \}]_{a=s} \quad (8)$$

ここで $\Gamma(x)$: ガンマ関数, C_1, C_2, C_1', C_2' : 近似計算のための定数

一方、気泡球間隔分布 $f(r)$ と気泡孔間隔分布 $f(s)$ との間に式(6)あるいは式(8)と同様の関係が成立する。fig-2, 3 は式(6)および(8)より算出した $f(s)$ の概形を示す。次に気泡量 P と気泡球分布構造特性を表すパラメーター (λ, λ')



K, K' あるいは P, \bar{P} との間に相似的な次式が成立する。

$$P = 0.8K^3 \lambda^3 = 21.6 (\bar{P}/\bar{\ell})^3 \quad (9)$$

(半径分布：直線型，間隔分布：指數型)

$$P = 1294.3 / \lambda^3 K^3 = 49.9 (\bar{P}/\bar{\ell})^3 \quad (10)$$

(半径分布：指數型，間隔分布：直線型)

その他、半径分布、間隔分布とも指數型あるいは直線型を想定した場合も同様の関係式が導かれるがここでは省略する。式(9)あるいは式(10)は気泡量 P と半径分布特性から間隔分布特性を推定するための算式として有効に使用できるものである。

4. 実験および結果の概要 本手法を用いて気泡コンクリート中の気泡分布構造を明らかにするため次のような実験を行なった。気泡コンクリートの配合をTable-1に示す。気泡コンクリート製造はアレフオーラ法によった。気泡コンクリートの切削面における気泡分布構造すなむち気泡半径分布、および間隔分布は切削面の顯微鏡拡大写真を用いて測定した。fig-4, 5 及び A-27 の断面観測結果と半径分布を直線型、間隔分布を指數型として式(6)あるいは式(8)から得られたこれらに関する解析解 $f(S)$ と $f(d)$ とがよく合致した時の状態を示す。Table-2, 3 及び Table-4 に求めた気泡球半径分布と間隔分布の解析結果を、また Table-4 に空気量と気泡球半径分布から式(9)あるいは式(10)を用いて気泡球間隔分布特性を推定した結果を示す。

5. 結論の要約 本研究で得られた主な結論を要約すれば次のようになる。
 (1) 切削面観測から得られる気泡孔の分布構造から気泡球の三次元的分布構造を推定することが可能である。この三次元的な分布形態は二次元的なものにくらべかなり様相を異にすることが明らかとなつた。
 (2) 本手法によれば $f(r), f(d)$ を適切な型に想定する必要があるが双方向いずれにおいても二次元的分布が凸形で、すながわながらで長い場合は三次元的分布を指數型 K 、一方すながわ凸軸的急で短い場合は直線型を想定するのがよい。
 (3) 気泡量と気泡球半径分布から気泡球間隔分布特性を推定することができる。

本研究は著者に与えられた昭和51年度丘田研究奨励金により実施していふ研究の一環であることを記して深く感謝の意を表します。

文献 (1) 大渕, 森本, 第31回年次大会
摘要集, (2) 大渕, 森本, 中部支部研究発表会概要集 S52.1

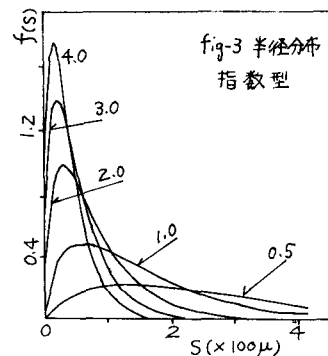
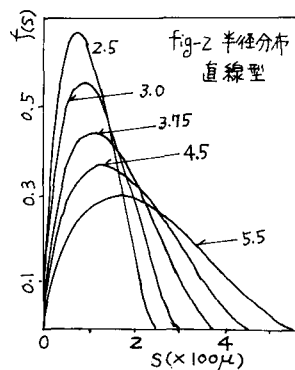


Table-1 配合

| 記号 | 空気量 | W/C (%) | S/C (%) | C (%) | W (%) | S (%) | AE (%) |
|------|-----|---------|---------|-------|-------|-------|--------|
| A-7 | 7% | 47 | 51 | 833 | 391 | 428 | 2.2 |
| A-16 | 16 | 47 | 51 | 753 | 353 | 386 | 2.8 |
| A-27 | 27 | 47 | 51 | 654 | 307 | 336 | 4.2 |
| A-37 | 37 | 47 | 51 | 564 | 265 | 290 | 5.3 |

(注) W: 有効水量, S: 絶乾重量, AE: 起泡剤

Table-2 気泡球半径分布特性

| 記号 | 分布型 | 10°ラスター | | 平均気泡球半径 | |
|------|-----|---------|------|---------|-------|
| | | 記号 | 値 | 半径 | 半径 |
| A-7 | 直線 | K | 3.10 | 103 μ | 106 μ |
| A-16 | 直線 | K | 3.10 | 103 | 120 |
| A-27 | 直線 | K | 3.80 | 126 | 155 |
| A-37 | 指數 | λ | 0.75 | 133 | 217 |

Table-3 気泡球間隔分布特性

| 記号 | 分布型 | 10°ラスター | | 平均気泡球間隔 | |
|------|-----|---------|------|---------|--------|
| | | 記号 | 値 | 前隔 | 後隔 |
| A-7 | 指數 | λ | 0.11 | 909 μ | 1393 μ |
| A-16 | 指數 | λ | 0.20 | 500 | 864 |
| A-27 | 指數 | λ | 0.20 | 500 | 916 |
| A-37 | 直線 | K' | 16.0 | 533 | 774 |

Table-4 気泡球間隔分布特性の推定

| 記号 | 分布型 | 10°ラスター | | 平均気泡球間隔 | |
|------|-----|---------|------|---------|-------|
| | | 記号 | 解析値 | 推定値 | 解析値 |
| A-7 | 指數 | λ | 0.11 | 0.14 | 909 μ |
| A-16 | 指數 | λ | 0.20 | 0.19 | 500 |
| A-27 | 指數 | λ | 0.20 | 0.18 | 500 |
| A-37 | 直線 | K' | 16.0 | 20.2 | 533 |

